

УДК 532.517.013.4

## ОБ УСТОЙЧИВОСТИ РАВНОВЕСИЯ ПЛОСКОГО СЛОЯ В МОДЕЛИ МИКРОКОНВЕКЦИИ

В. К. Андреев, В. Б. Бекежанова

Институт вычислительного моделирования СО РАН, 660036 Красноярск

Исследована устойчивость равновесного состояния плоского слоя, ограниченного твердыми стенками, в модели микроконвекции. Поведение комплексного декремента в случае длинноволновых возмущений имеет асимптотический характер. Приводятся результаты расчетов полной спектральной задачи для расплава кремния. В отличие от классической модели Обербека — Буссинеска возмущения не являются монотонными. Показано, что при малом параметре Буссинеска спектр данной задачи аппроксимирует спектры соответствующих задач для вязкой теплопроводной жидкости или тепловой гравитационной конвекции, когда число Рэлея конечно.

**1. Основные уравнения.** Модель Обербека — Буссинеска достаточно точно описывает тепловую гравитационную конвекцию в земных условиях. Однако в очень слабых силовых полях отброшенные члены в уравнении неразрывности при замене его уравнением  $\operatorname{div} \mathbf{u} = 0$  могут оказаться столь же существенными, как и член  $-\beta\theta\mathbf{g}$ , выражающий вклад сил плавучести в уравнение импульса. В связи с этим в работе [1] В. В. Пухначевым предложена модель микроконвекции, в которой зависимость плотности от температуры имеет вид

$$\rho = \rho_1(1 + \beta\theta)^{-1},$$

где  $\rho_1, \beta$  — положительные постоянные. При малых  $\beta$ , так же как в классической модели Обербека — Буссинеска, получим  $\rho \approx \rho_1(1 - \beta\theta)$ .

Пусть  $\mathbf{u}(x, y, z, t) = (u_1(x, y, z, t), u_2(x, y, z, t), u_3(x, y, z, t))$  — вектор скорости,  $p(x, y, z, t)$  — давление жидкости. Следуя [1], введем новые неизвестные

$$\mathbf{w} = \mathbf{u} - \beta\chi\nabla\theta; \tag{1.1}$$

$$q = \rho_1^{-1}(p - \lambda \operatorname{div} \mathbf{u}) - \beta(\nu - \chi)\chi\Delta\theta, \tag{1.2}$$

где  $\chi$  — температуропроводность;  $\lambda$  — коэффициент второй вязкости;  $\nu = \mu/\rho_1$  — кинематическая вязкость. После некоторых преобразований [2] получим систему уравнений относительно функций  $\mathbf{w}, q, \theta$

$$\begin{aligned} \mathbf{w}_t + \mathbf{w} \cdot \nabla \mathbf{w} + \beta\chi \operatorname{rot} \mathbf{w} \times \nabla\theta + \beta^2\chi^2 \operatorname{div}(\nabla\theta \otimes \nabla\theta - |\nabla\theta|^2 I) = \\ = (1 + \beta\theta)(-\nabla q + \nu\Delta\mathbf{w}) + \mathbf{g}; \end{aligned} \tag{1.3}$$

$$\operatorname{div} \mathbf{w} = 0; \tag{1.4}$$

$$\theta_t + \mathbf{w} \cdot \nabla\theta + \beta\chi|\nabla\theta|^2 = (1 + \beta\theta)\chi\Delta\theta, \tag{1.5}$$

где  $\mathbf{g}$  — ускорение свободного падения. Считается, что вклад диссипативной функции и сил давления в уравнение притока тепла (1.5) пренебрежимо мал.

В начальный момент времени необходимо задать вектор  $\mathbf{w}$  и температуру  $\theta$ :

$$\mathbf{w}|_{t=0} = \mathbf{w}_1(\mathbf{x}) \equiv \mathbf{u}_1 - \beta\chi\nabla\theta_1, \quad \operatorname{div} \mathbf{w}_1 = 0, \quad \theta|_{t=0} = \theta_1(\mathbf{x}). \quad (1.6)$$

На твердых стенках выполнены условия

$$\mathbf{w} + \beta\chi\nabla\theta = 0; \quad (1.7)$$

$$\theta = \theta_w(\mathbf{x}, t) \quad \text{или} \quad k_1 \frac{\partial\theta}{\partial n} + b(\theta - \theta_g) = Q. \quad (1.8)$$

Равенство (1.7) есть условие прилипания ( $\mathbf{u} = 0$ ) на неподвижной стенке; первое равенство в (1.8) задает ее температуру, второе — теплообмен с окружающей средой (при  $b = 0$  поток тепла).

ЗАМЕЧАНИЕ 1. Для конвекции в замкнутой полости  $\Omega$  из (1.4), (1.7) следует равенство

$$\int_{\Gamma} \frac{\partial\theta}{\partial n} d\Gamma = 0, \quad (1.9)$$

где  $\Gamma$  — твердая стенка, окружающая жидкость. Если предположить, что  $\rho = \rho(\theta)$ , то из законов сохранения массы, энергии и из условия прилипания получим

$$\int_{\Gamma} V_{\theta} \frac{\partial\theta}{\partial n} d\Gamma = \int_{\Omega} V_{\theta\theta} |\nabla\theta|^2 d\Omega, \quad (1.10)$$

где  $V = 1/\rho(\theta)$  — удельный объем. Для модели (1.3)–(1.5)  $V = (1 + \beta\theta)/\rho_1$ , и вновь из (1.10) получается равенство (1.9). Условие (1.9) (или более общее (1.10)) необходимо для выполнения условия независимости плотности от давления.

Предположим, что  $l_*$ ,  $\theta_*$  — характерные длина и температура. Введем безразмерные переменные соотношениями

$$\mathbf{x} \leftrightarrow l_*\mathbf{x}, \quad t \leftrightarrow l_*^2 t/\chi, \quad \mathbf{w} \leftrightarrow l_*^{-1}\chi\mathbf{w}, \quad \theta \leftrightarrow \theta_*\theta, \quad q \leftrightarrow q\nu\chi l_*^{-2}. \quad (1.11)$$

Тогда система (1.3)–(1.5) запишется в следующем виде:

$$\begin{aligned} \mathbf{w}_t + \mathbf{w}\nabla\mathbf{w} + \varepsilon \operatorname{rot} \mathbf{w} \times \nabla\theta + \varepsilon^2 \operatorname{div}(\nabla\theta \otimes \nabla\theta - |\nabla\theta|^2 I) = \\ = (1 + \varepsilon\theta)(-\nabla\bar{q} + \Delta\mathbf{w}) \operatorname{Pr} - \varepsilon\boldsymbol{\eta}(t) \operatorname{Pr} \theta; \end{aligned} \quad (1.12)$$

$$\operatorname{div} \mathbf{w} = 0; \quad (1.13)$$

$$\theta_t + \mathbf{w} \cdot \nabla\theta + \varepsilon |\nabla\theta|^2 = (1 + \varepsilon\theta)\Delta\theta, \quad (1.14)$$

где  $\operatorname{Pr} = \nu/\chi$  — число Прандтля;  $\varepsilon = \beta\theta_*$  — параметр Буссинеска;  $\boldsymbol{\eta} = l_*^3 \mathbf{g}(t)/(\nu\chi)$  — векторный параметр микроконвекции. В частности, если  $\mathbf{g} = (0, 0, -g)$ , то  $\boldsymbol{\eta} = l_*^3 g/(\nu\chi)$  — параметр микроконвекции. При  $\eta < 1$  [1] приближение Обербека — Буссинеска непригодно для описания конвекции. Граничное условие (1.7) примет вид

$$\mathbf{w} + \varepsilon\nabla\theta = 0. \quad (1.15)$$

В уравнении (1.12) аналог модифицированного давления равен  $\bar{q} = q - l_*^3 \mathbf{g}(t) \cdot \mathbf{x}/(\nu\chi)$ .

Параметр  $\varepsilon$  входит в систему (1.12)–(1.15) регулярным образом (в реальных ситуациях его значение редко превышает  $10^{-2}$ ). Поэтому из анализа уравнений (1.12)–(1.15) можно сделать следующие выводы:

1. При умеренных числах Прандтля и  $\varepsilon \rightarrow 0$  система микроконвекции аппроксимирует уравнения вязкой теплопроводной жидкости.

2. Если  $\operatorname{Pr} \gg 1$ , то в пределе получаем систему “ползущего” движения

$$\Delta\mathbf{w} - \nabla\bar{q} = \varepsilon\boldsymbol{\eta}(t)\theta, \quad \operatorname{div} \mathbf{w} = 0, \quad (1.16)$$

$$\theta_t + \mathbf{w} \cdot \nabla \theta + \varepsilon |\nabla \theta|^2 = (1 + \varepsilon \theta) \Delta \theta.$$

3. Если  $\varepsilon \boldsymbol{\eta}(t) \rightarrow \mathbf{R}(t) \neq 0$  при  $\varepsilon \rightarrow 0$ , то получаем модель Обербека — Буссинеска ( $\mathbf{R}(t)$  — вектор чисел Рэлея). Отметим, что  $\text{Pr } \varepsilon \boldsymbol{\eta}(t) = \beta \theta_* l_*^3 \mathbf{g}(t) / \chi^2 = \mathbf{Gr}$  ( $\mathbf{Gr}$  — вектор чисел Грасгофа).

Разложив решение в ряд по  $\varepsilon$  (или в ряд по  $\text{Pr}^{-1}$  в случае 2), в нулевом приближении получим одну из указанных выше моделей. В работе [3] доказано существование аналитического по  $\varepsilon$  решения в классах Гёльдера задачи (1.3)–(1.7). Микроконвекция рассматривалась в замкнутой области  $\Omega$ , и граничное условие (1.8) бралось в виде  $\partial \theta / \partial n = Q / k_1$ . Поскольку в [3] в качестве характерных скоростей и давлений взяты величины, отличные от (1.11), предельная при  $\varepsilon = 0$  задача не поддается физической интерпретации.

Следуя [3], можно строго математически обосновать выводы 1, 2. В данной работе это сделано на примере численного решения полной спектральной задачи, возникающей при изучении устойчивости равновесия жидкости в модели микроконвекции.

**2. Равновесное состояние.** В равновесном состоянии  $\mathbf{u} = 0$ ,  $\theta_t = p_t = 0$ . Поэтому из (1.1) следует

$$\mathbf{w}_0 = -\beta \chi \nabla \theta_0$$

(индекс 0 соответствует равновесному состоянию), и согласно (1.4) температура является гармонической функцией:

$$\Delta \theta_0 = 0. \quad (2.1)$$

Уравнение (1.5) выполняется тождественно, а (1.3) эквивалентно следующему:

$$\nabla q_0 = \mathbf{g} / (1 + \beta \theta_0). \quad (2.2)$$

Заметим, что в силу соотношений (1.2), (2.1)  $q_0 = p_0 / \rho_1$ . Поэтому необходимое условие равновесия имеет вид  $\mathbf{g} \cdot \text{rot } \mathbf{g} = 0$ . Для постоянного вектора внешних сил оно выполняется, и из (2.2) следует

$$\nabla \theta_0 \times \mathbf{g} = 0. \quad (2.3)$$

Если  $\mathbf{g} = (0, 0, -g)$  ( $g = \text{const} > 0$ ), то (2.3) справедливо только при  $\theta_0 = \theta_0(z)$ . В этом случае из (2.1) получим  $\theta_0(z) = c_1 z + c_2$  ( $c_1, c_2 = \text{const}$ ). В частности, равновесное состояние слоя с твердыми стенками ( $|z| = l$ ), на которых поддерживается постоянная температура  $\theta_1$  и  $\theta_2$ , описывается формулами

$$\begin{aligned} \mathbf{w}_0 &= (0, 0, \beta \chi (\theta_2 - \theta_1) / (2l)), & \theta_0 &= (\theta_1 - \theta_2) z / (2l) + (\theta_1 + \theta_2) / 2, \\ q_0 &= -\frac{2lg}{\beta(\theta_1 - \theta_2)} \ln \left( 1 + \beta \frac{\theta_1 + \theta_2}{2} + \beta \frac{\theta_1 - \theta_2}{2l} z \right) + c_3, & c_3 &= \text{const}. \end{aligned} \quad (2.4)$$

Здесь в отличие от классического случая аналог давления — функция  $q_0(z)$  — распределен по логарифмическому закону, а не по линейному. Кроме того, решение (2.4) удовлетворяет системе (1.16).

**ЗАМЕЧАНИЕ 2.** Из (2.4) при  $\beta \rightarrow 0$  получаем

$$\mathbf{w}_0 = \mathbf{u}_0 = 0, \quad \theta_0 = (\theta_1 - \theta_2) z / (2l) + (\theta_1 + \theta_2) / 2, \quad q_0 = c_4 - gz, \quad c_4 = \text{const}. \quad (2.5)$$

Поскольку давление  $p_0 = q_0 \rho_1$ , система (2.5) соответствует равновесному состоянию слоя вязкой теплопроводной жидкости. Это следует из того, что согласно замене (1.1), (1.2) система (1.3)–(1.5) при  $\beta \rightarrow 0$  аппроксимирует уравнения Навье — Стокса вязкой теплопроводной жидкости.

ЗАМЕЧАНИЕ 3. Если в выражении для  $q_0(z)$  из (2.4) удерживать члены второго порядка малости по  $\beta$  и через  $\bar{p}_0(z)$  обозначить отклонение давления от гидростатического, то приходим к равновесному состоянию в модели Обербека — Буссинеска (см. [4, 5])

$$\mathbf{w}_0 = \mathbf{u}_0 = 0, \quad \theta_0 = \frac{\theta_1 - \theta_2}{2l} z + \frac{\theta_1 + \theta_2}{2}, \quad \frac{d\bar{p}_0}{dz} = \rho_1 g \beta \theta_0(z). \quad (2.6)$$

**3. Линеаризованная задача о малых возмущениях в модели микроконвекции.** Пусть  $\mathbf{w}(\mathbf{x}, t)$ ,  $q(\mathbf{x}, t)$ ,  $\theta(\mathbf{x}, t)$  — известное основное движение,  $\tilde{\mathbf{w}}(\mathbf{x}, t) = \mathbf{w}(\mathbf{x}, t) + \mathbf{W}(\mathbf{x}, t)$ ,  $\tilde{q}(\mathbf{x}, t) = q(\mathbf{x}, t) + Q(\mathbf{x}, t)$ ,  $\tilde{\theta}(\mathbf{x}, t) = \theta(\mathbf{x}, t) + T(\mathbf{x}, t)$  — возмущенное движение. Будем считать, что  $\mathbf{W}$ ,  $Q$ ,  $T$  и их производные малы. Подставляя  $\tilde{\mathbf{w}}$ ,  $\tilde{q}$ ,  $\tilde{\theta}$  в уравнения (1.3)–(1.5), получим линейную задачу относительно  $\mathbf{W}$ ,  $Q$ ,  $T$  [2]

$$\begin{aligned} \mathbf{W}_t + \mathbf{w} \nabla \mathbf{W} + \mathbf{W} \nabla \mathbf{w} + \beta \chi (\text{rot } \mathbf{W} \times \nabla \theta + \text{rot } \mathbf{w} \times \nabla T) + \\ + \beta^2 \chi^2 [\Delta \theta \nabla T + \Delta T \nabla \theta - \nabla \theta \nabla (\nabla T) - \nabla T \nabla (\nabla \theta)] = \\ = (1 + \beta \theta) (-\nabla Q + \nu \Delta \mathbf{W}) + \beta T (-\nabla q + \nu \Delta \mathbf{w}); \end{aligned} \quad (3.1)$$

$$\text{div } \mathbf{W} = 0; \quad (3.2)$$

$$T_t + \mathbf{w} \cdot \nabla T + \mathbf{W} \cdot \nabla \theta + 2\beta \chi \nabla \theta \cdot \nabla T = (1 + \beta \theta) \chi \Delta T + \beta \chi T \Delta \theta. \quad (3.3)$$

Заметим, что в (3.1) выражение при  $\beta^2 \chi^2$  равно  $\text{div} [\nabla \theta \otimes \nabla T + \nabla T \otimes \nabla \theta - 2I \nabla \theta \cdot \nabla T]$ , так как  $\nabla \theta \nabla (\nabla T) + \nabla T \nabla (\nabla \theta) = \nabla (\nabla \theta \cdot \nabla T)$ .

На твердых стенках выполнены условия

$$\mathbf{W} + \beta \chi \nabla T = 0, \quad T = 0 \quad (3.4)$$

либо

$$\mathbf{W} + \beta \chi \nabla T = 0, \quad k_1 \frac{\partial T}{\partial n} + bT = 0.$$

Система (3.1)–(3.3) дополняется начальными данными

$$\mathbf{W}|_{t=0} = \mathbf{W}_1(\mathbf{x}), \quad \text{div } \mathbf{W}_1(\mathbf{x}) = 0, \quad T|_{t=0} = T_1(\mathbf{x}). \quad (3.5)$$

Рассмотрим задачу (3.1)–(3.5) в случае равновесия в слое с твердыми стенками, заданного формулами (2.4). Введем безразмерные переменные ( $\mathbf{W} = (U, V, W)$ )

$$\xi = x/(2l), \quad \eta = y/(2l), \quad \zeta = z/(2l), \quad \tau = \chi t/(4l^2),$$

$$\begin{aligned} U_1 = 2lU/\chi, \quad V_1 = 2lV/\chi, \quad W_1 = 2lW/\chi, \quad Q_1 = 4l^2 Q/(\nu \chi), \quad T_1 = T/(\mu(\theta_1 - \theta_2)), \\ l_* = 2l, \quad \theta_* = \mu(\theta_1 - \theta_2) \end{aligned}$$

( $\mu = 1$ , если  $\theta_1 > \theta_2$ ;  $\mu = -1$ , если  $\theta_1 < \theta_2$ ). После подстановки этих переменных в (3.1)–(3.4) получим систему (индекс 1 опущен)

$$U_\tau - \varepsilon \mu W_\xi - \mu \varepsilon^2 T_{\xi\xi} = (1 + \beta \theta_0) (-Q_\xi + \Delta U) \text{Pr},$$

$$V_\tau - \varepsilon \mu W_\eta - \mu \varepsilon^2 T_{\eta\eta} = (1 + \beta \theta_0) (-Q_\eta + \Delta V) \text{Pr},$$

$$W_\tau - \varepsilon \mu W_\zeta + \mu \varepsilon^2 (T_{\xi\xi} + T_{\eta\eta}) = (1 + \beta \theta_0) (-Q_\zeta + \Delta W) \text{Pr} + \text{Gr} T / (1 + \beta \theta_0), \quad (3.6)$$

$$U_\xi + V_\eta + W_\zeta = 0,$$

$$T_\tau + \varepsilon \mu T_\zeta + \mu W = (1 + \beta \theta_0) \Delta T,$$

где  $\varepsilon = \beta |\theta_1 - \theta_2|$  — параметр Буссинеска;  $\text{Gr} = \mu \beta (\theta_1 - \theta_2) (2l)^3 g / \chi^2$  — число Грасгофа;  $\theta_0(\zeta) = (\theta_1 - \theta_2) \zeta + (\theta_1 + \theta_2) / 2$ .

Граничные условия (3.4) на твердых стенках ( $\zeta = -1/2$ ,  $\zeta = 1/2$ ) примут вид

$$U + \varepsilon T_\xi = 0, \quad V + \varepsilon T_\eta = 0, \quad W + \varepsilon T_\zeta = 0, \quad T = 0. \quad (3.7)$$

Будем искать решение краевой задачи (3.6), (3.7) в виде нормальных волн

$$(U, V, W, Q, T) = (U(\zeta), V(\zeta), W(\zeta), Q(\zeta), T(\zeta)) \exp(i(\alpha_1 \xi + \alpha_2 \eta - C\tau)). \quad (3.8)$$

Здесь  $\alpha_1$ ,  $\alpha_2$  — безразмерные волновые числа вдоль осей  $x$  и  $y$  соответственно;  $C$  — комплексный декремент, определяющий временной ход возмущения. Если  $C = C_r + iC_i$ , то возмущения осциллируют с частотой  $C_r$ ; затухание или нарастание возмущений определяется знаком  $C_i$ .

Подставляя (3.8) в (3.6), получим спектральную задачу относительно параметра  $C$  для системы обыкновенных дифференциальных уравнений

$$-iCU - i\alpha_1 \mu \varepsilon W - i\alpha_1 \mu \varepsilon^2 T' = (1 + \beta\theta_0)[U'' - (\alpha_1^2 + \alpha_2^2)U - i\alpha_1 Q] \text{Pr}; \quad (3.9)$$

$$-iCV - i\alpha_2 \mu \varepsilon W - i\alpha_2 \mu \varepsilon^2 T' = (1 + \beta\theta_0)[V'' - (\alpha_1^2 + \alpha_2^2)V - i\alpha_2 Q] \text{Pr}; \quad (3.10)$$

$$\begin{aligned} -iCW - \mu \varepsilon W' - [\mu \varepsilon^2 (\alpha_1^2 + \alpha_2^2) + \text{Gr}/(1 + \beta\theta_0)]T = \\ = (1 + \beta\theta_0)[W'' - (\alpha_1^2 + \alpha_2^2)W - Q'] \text{Pr}; \end{aligned} \quad (3.11)$$

$$i\alpha_1 U + i\alpha_2 V + W' = 0; \quad (3.12)$$

$$-iCT + \mu \varepsilon T' + \mu W = (1 + \beta\theta_0)[T'' - (\alpha_1^2 + \alpha_2^2)T] \quad (3.13)$$

при  $|\zeta| < 1/2$  (штрих означает дифференцирование по  $\zeta$ ).

Граничные условия (3.7) при  $|\zeta| = 1/2$  имеют вид

$$U = 0, \quad V = 0, \quad W + \varepsilon T' = 0, \quad T = 0. \quad (3.14)$$

К задаче (3.9)–(3.14) применимо преобразование Сквайра [6]. Умножив (3.9) на  $i\alpha_1$ , а (3.10) на  $i\alpha_2$  и обозначив  $Z = i\alpha_1 U + i\alpha_2 V$ , получим задачу

$$-iCZ + \mu \varepsilon k^2 W + \mu \varepsilon^2 k^2 T' = (1 + \beta\theta_0)(Z'' - k^2 Z + k^2 Q) \text{Pr}; \quad (3.15)$$

$$-iCW - \mu \varepsilon W' - (\mu \varepsilon^2 k^2 + \text{Gr}/(1 + \beta\theta_0))T = (1 + \beta\theta_0)(W'' - k^2 W - Q') \text{Pr}; \quad (3.16)$$

$$Z + W' = 0; \quad (3.17)$$

$$-iCT + \mu \varepsilon T' + \mu W = (1 + \beta\theta_0)(T'' - k^2 T), \quad (3.18)$$

где  $k = \sqrt{\alpha_1^2 + \alpha_2^2}$  — модифицированное волновое число.

При  $|\zeta| = 1/2$  имеем

$$Z = 0, \quad W + \varepsilon T' = 0, \quad T = 0. \quad (3.19)$$

Для “грубой” неустойчивости состояния равновесия (3.4) (т. е. неустойчивости в первом приближении) необходимо и достаточно, чтобы хотя бы для одного собственного значения было выполнено условие  $\text{Im } C > 0$ .

**ЗАМЕЧАНИЕ 4.** Система (3.15)–(3.18) при  $C = 0$  может быть сведена к одному уравнению шестого порядка на возмущение температуры

$$L^2(xLT - \varepsilon^2 T') + (k^2 R/x^2)T = 0, \quad T = T' = T'' = 0, \quad x = 1 + \beta\theta_{1,2},$$

где  $x = 1 + \beta\theta_0(\zeta)$ ;  $L = \varepsilon^2 d^2/dx^2 - k^2$ . Однако даже в этом случае последнее уравнение не удастся явно проинтегрировать и найти критические числа Рэлея  $R$  в явном виде.

**ЗАМЕЧАНИЕ 5.** Поскольку  $\text{Gr} = \varepsilon \eta \text{Pr}$  ( $\eta = (2l)^3 g/(\nu \chi)$  — параметр микроконвекции), для умеренных чисел Прандтля краевая задача (3.15)–(3.19) при  $\varepsilon \rightarrow 0$  аппроксимирует

задачу об устойчивости равновесия (2.5) (см. замечание 2). Если  $\text{Gr} \rightarrow \text{Gr}_0 > 0$  при  $\varepsilon \rightarrow 0$ , то приходим к задаче об устойчивости равновесия (2.6) в модели Обербека — Буссинеска.

**4. Асимптотика длинных волн.** Рассмотрим асимптотическое поведение амплитудных уравнений при  $k \rightarrow 0$ .

Поскольку в систему всюду входит  $k^2$ , положим

$$\begin{aligned} Z &= Z_0 + k^2 Z_1 + \dots, & W &= W_0 + k^2 W_1 + \dots, \\ Q &= Q_0 + k^2 Q_1 + \dots, & T &= T_0 + k^2 T_1 + \dots, & C &= C_0 + k^2 C_1 + \dots \end{aligned}$$

Подстановка этих выражений в (3.15)–(3.18) в нулевом приближении приводит к системе

$$\begin{aligned} -iC_0 Z_0 &= (1 + \beta\theta_0) Z_0'' \text{Pr}, \\ -iC_0 W_0 - \mu\varepsilon W_0' - \text{Gr}T_0/(1 + \beta\theta_0) &= (1 + \beta\theta_0)(W_0'' - Q_0') \text{Pr}, \\ Z_0 + W_0' &= 0, \\ -iC_0 T_0 + \mu\varepsilon T_0' + \mu W_0 &= (1 + \beta\theta_0) T_0''. \end{aligned} \quad (4.1)$$

Граничные условия для  $Z_i, W_i, Q_i, T_i$  ( $i = 0, 1$ ) совпадают с (3.19).

Запишем уравнение для  $Z_0$  в виде  $Z_0'' = -iC_0 Z_0 / ((1 + \beta\theta_0) \text{Pr})$ . Умножив его на комплексно-сопряженную величину  $Z_0^*$  и проинтегрировав по отрезку  $[-1/2; 1/2]$ , получим

$$\frac{iC_0}{\text{Pr}} \int_{-1/2}^{1/2} \frac{|Z_0|^2 d\zeta}{1 + \beta\theta_0} = \int_{-1/2}^{1/2} |Z_0'|^2 d\zeta.$$

Отсюда следует, что величина  $C_0$  мнимая ( $C_0 = iC_{0i}$ , причем  $C_{0i} < 0$ ). Значит, длинноволновые возмущения затухают монотонно независимо от знака разности  $\theta_1 - \theta_2$ . Легко можно уточнить вид  $C_{0i}$ . Действительно, замена  $x = 1 + \beta\theta_0(\zeta) = 1 + \beta(\theta_1 - \theta_2)\zeta + \beta(\theta_1 + \theta_2)/2$  приводит к уравнению  $xZ_0'' + \mu_0 Z_0 = 0$ , где  $\mu_0 = iC_0 / (\text{Pr} \varepsilon^2)$ ; по доказанному выше  $\mu_0 > 0$ . В свою очередь последнее уравнение имеет общее решение

$$Z_0 = \sqrt{x}(h_1 J_1(2\sqrt{\mu_0 x}) + h_2 Y_1(2\sqrt{\mu_0 x})), \quad h_1, h_2 = \text{const},$$

где  $J_1, Y_1$  — бесселевы функции первого и второго рода. Поскольку  $Z_0(x_{1,2}) = 0$  ( $x_{1,2} = 1 + \beta\theta_{1,2} > 0$ ), то  $\tau = 2\sqrt{\mu_0 x_1}$  — корень трансцендентного уравнения

$$J_1(\tau)Y_1(\lambda_0\tau) - J_1(\lambda_0\tau)Y_1(\tau) = 0, \quad \lambda_0 = \sqrt{x_2/x_1}.$$

Последнее уравнение имеет счетное число вещественных корней  $\tau_n$  [7]. Отсюда

$$C_{0n} = -(\text{Pr} \varepsilon^2 \tau_n^2 / (4x_1))i \equiv iC_{0i}. \quad (4.2)$$

Рассмотрим систему первого приближения по  $k^2$ . Вместо (4.1) получим систему

$$\begin{aligned} -i(C_0 Z_1 + C_1 Z_0) + \varepsilon W_0 + \mu\varepsilon^2 T_0' &= (1 + \beta\theta_0)(Z_1'' - Z_0 + Q_0) \text{Pr}, \\ -i(C_0 W_1 + C_1 W_0) - \mu\varepsilon W_1' - \text{Gr}T_1/(1 + \beta\theta_0) - \mu\varepsilon^2 T_0 &= \\ &= (1 + \beta\theta_0)(W_1'' - W_0 - Q_1') \text{Pr}, \\ Z_1 + W_1' &= 0, \\ -i(C_1 T_0 + C_0 T_1) + \mu\varepsilon T_1' + \mu W_1 &= (1 + \beta\theta_0)(T_1'' - T_0). \end{aligned} \quad (4.3)$$

Из (4.3) для  $Z_1$  получим краевую задачу

$$\begin{aligned} Z_1'' + iC_0 Z_1 / (\text{Pr}(1 + \beta\theta_0)) &= (-iC_1 Z_0 + \mu\varepsilon W_0 + \mu\varepsilon^2 T_0') / (\text{Pr}(1 + \beta\theta_0)) + Z_0 - Q_0, \\ Z_1(\pm 1/2) &= 0. \end{aligned}$$

Для однозначной разрешимости этой задачи необходимо и достаточно, чтобы правая часть последнего уравнения была ортогональна решению однородного сопряженного уравнения, т. е.  $Z_0^*$ . Отсюда

$$iC_1 = \left[ \int_{-1/2}^{1/2} \left( \frac{\mu\varepsilon W_0 + \mu\varepsilon^2 T_0'}{(1 + \beta\theta_0)\text{Pr}} - Q_0 + Z_0 \right) Z_0^* d\zeta \right] \left( \int_{-1/2}^{1/2} \frac{|Z_0|^2}{1 + \beta\theta_0} d\zeta \right)^{-1}. \quad (4.4)$$

Можно показать, что  $iC_1$  — вещественное число.

**5. Численное решение задачи на собственные значения.** Для отыскания численного решения методом ортогонализации [8] систему (3.15)–(3.18) приведем к виду  $\mathbf{y}' = A\mathbf{y}$ , где  $\mathbf{y}(\xi)$  — вектор неизвестных;  $A(\xi)$  — матрица коэффициентов;  $0 \leq \xi \leq 1$ . Сделаем замену

$$\xi = \zeta + 1/2, \quad y_1 = Z, \quad y_2 = Z', \quad y_3 = Z'', \quad y_4 = W, \quad y_5 = T, \quad y_6 = T'. \quad (5.1)$$

Исключая  $Q$  из (3.15), (3.16), получим следующую систему уравнений:

$$\begin{aligned} y_1' &= y_2, & y_2' &= y_3, & y_3' &= -y_1, & y_4' &= y_6, \\ y_3' &= \frac{\varepsilon Ci}{(1 + \beta\theta_0)^2 \text{Pr}} y_1 + \left( 2k^2 - \frac{Ci}{(1 + \beta\theta_0)\text{Pr}} \right) y_2 + \\ &+ \left( k^4 - \frac{k^2 Ci}{(1 + \beta\theta_0)\text{Pr}} + \frac{\varepsilon k^2 (\varepsilon - \mu)}{\text{Pr}(1 + \beta\theta_0)^2} \right) y_4 - \frac{\mu\varepsilon^2 k^2 Ci + k^2 \text{Gr}}{(1 + \beta\theta_0)^2 \text{Pr}} y_5 + \frac{\varepsilon^3 k^2 (1 - \mu)}{\text{Pr}(1 + \beta\theta_0)^2} y_6, \\ y_6' &= \frac{\mu}{1 + \beta\theta_0} y_4 + \left( k^2 - \frac{Ci}{1 + \beta\theta_0} \right) y_5 + \frac{\varepsilon\mu}{1 + \beta\theta_0} y_6. \end{aligned}$$

Здесь  $\theta_0 = \theta_2 + (\theta_1 - \theta_2)\xi$ . Граничные условия (3.19) в силу замены (5.1) примут вид  $y_1 = 0$ ,  $y_4 + \varepsilon y_6 = 0$ ,  $y_5 = 0$  при  $\xi = 0$  и  $\xi = 1$ .

Таким образом, решается система вида  $\mathbf{y}' = A(\xi)\mathbf{y}$  с краевыми условиями  $B\mathbf{y}(0) = 0$  и  $D\mathbf{y}(1) = 0$  при  $\xi = 0$  и  $\xi = 1$  соответственно. Матрица  $A$  размерности  $6 \times 6$  имеет следующие элементы:

$$\begin{aligned} a_{11} &= a_{13} = a_{14} = a_{15} = a_{16} = 0, & a_{12} &= 1, \\ a_{21} &= a_{22} = a_{24} = a_{25} = a_{26} = 0, & a_{23} &= 1, \\ a_{31} &= \frac{\varepsilon Ci}{(1 + \beta\theta_0)^2 \text{Pr}}, & a_{32} &= 2k^2 - \frac{Ci}{(1 + \beta\theta_0)\text{Pr}}, & a_{33} &= 0, \\ a_{34} &= k^4 - \frac{k^2 Ci}{(1 + \beta\theta_0)\text{Pr}} + \frac{\varepsilon k^2 (\varepsilon - \mu)}{\text{Pr}(1 + \beta\theta_0)^2}, & a_{35} &= -\frac{\mu\varepsilon^2 k^2 Ci + k^2 \text{Gr}}{(1 + \beta\theta_0)^2 \text{Pr}}, & a_{36} &= \frac{\varepsilon^3 k^2 (1 - \mu)}{\text{Pr}(1 + \beta\theta_0)^2}, \\ a_{41} &= -1, & a_{42} &= a_{43} = a_{44} = a_{45} = a_{46} = 0, \\ a_{51} &= a_{52} = a_{53} = a_{54} = a_{55} = 0, & a_{56} &= 1, \\ a_{61} &= a_{62} = a_{63} = 0, & a_{64} &= \frac{\mu}{1 + \beta\theta_0}, & a_{65} &= k^2 - \frac{Ci}{1 + \beta\theta_0}, & a_{66} &= \frac{\varepsilon\mu}{1 + \beta\theta_0}. \end{aligned}$$

Матрицы  $B$  и  $D$  размерности  $3 \times 6$  совпадают, и их элементы имеют значения

$$b_{11} = d_{11} = b_{24} = d_{24} = b_{35} = d_{35} = 1, \quad b_{26} = d_{26} = \varepsilon.$$

Остальные элементы обеих матриц равны нулю.

Решение ищется в виде

$$\mathbf{y} = \sum_{j=1}^3 p_j \mathbf{y}^j, \quad (5.2)$$

где коэффициенты  $p_j$  находятся из системы  $D\mathbf{y}(1) = 0$ ;  $\mathbf{y}^1, \mathbf{y}^2, \mathbf{y}^3$  — линейно независимые векторы, такие что

$$\mathbf{y}^1(0) = (0, 0, 0, -\varepsilon, 0, 1), \quad \mathbf{y}^2(0) = (0, 1, 0, 0, 0, 0), \quad \mathbf{y}^3(0) = (0, 0, 1, 0, 0, 0).$$

Для определения собственного значения  $C$  необходимы два начальных приближения  $C_0$  и  $C_1$ , которые выбираются из условий (4.2), (4.4). Через крайний левый участок выполним интегрирование уравнений для  $\mathbf{y}^1, \mathbf{y}^2, \mathbf{y}^3$  с заданной длиной шага по  $\xi$ . Полученные на правом конце участка векторы проортогонализируем. Через следующий участок будем интегрировать решения, для которых начальными данными являются векторы, полученные в результате ортогонализации. Решения на правом конце второго участка вновь проортогонализируем, и т. д., пока не дойдем до точки  $\xi = 1$ . Для интегрирования используем метод Рунге — Кутты — Мерсена четвертого порядка с автоматическим выбором шага интегрирования. Поскольку для каждого из векторов  $\mathbf{y}^j$  может быть свой шаг интегрирования, из трех полученных значений при автоматическом выборе шага оставляем наименьший. Достигнув правого конца участка интегрирования — точки  $\xi = 1$ , получим систему трех уравнений  $D\mathbf{y}(1) = 0$  для нахождения трех неизвестных  $p_j$ , где  $\mathbf{y}$  имеет вид (5.2). Определитель системы, составленный из коэффициентов  $y_i^j$  ( $j = 1, 2, 3$ ,  $i = 1, \dots, 6$ ), возьмем в качестве характеристического многочлена  $F(C)$ . Для того чтобы система  $D\mathbf{y}(1) = 0$  имела нетривиальное решение, необходимо и достаточно, чтобы определитель системы (в данном случае  $F(C)$ ) был равен нулю. Таким образом, задача свелась к решению нелинейного уравнения  $F(C) = 0$ . Уравнение решаем методом секущих, используя в качестве начальных приближений выбранные  $C_0$  и  $C_1$ . Полученный корень уравнения  $F(C) = 0$  и есть искомое собственное значение при заданном значении волнового числа  $k$ . Рассматриваем длинноволновые возмущения, т. е.  $k \rightarrow 0$ . Сдвигаясь по  $k$  от значения  $k = 10^{-5}$ , находим зависимость  $C(k)$ . По знаку мнимых частей  $C$ , полученных на каждом шаге по  $k$ , определяем интервалы устойчивости.

Исследовалась устойчивость слоя с твердыми стенками для расплава кремния при следующих значениях параметров:  $\nu = 2,65 \cdot 10^{-3} \text{ см}^2/\text{с}$ ,  $\chi = 0,49 \text{ см}^2/\text{с}$ ,  $\beta = 0,75 \cdot 10^{-5} \text{ }^\circ\text{C}^{-1}$ ,  $\text{Pr} = 5,41 \cdot 10^{-3}$ . Расчеты проводились для модуля разности температур на стенках  $|\theta_1 - \theta_2| = 10; 1000 \text{ }^\circ\text{C}$ . Это означает изменение безразмерного параметра  $\varepsilon = \beta|\theta_1 - \theta_2|$ . Линейный размер слоя выбирался таким, чтобы выполнялось неравенство  $(2l)^3 g / (\nu\chi) < 1$ , которое является критерием применимости рассматриваемой модели микроконвекции (см. [1, 9]). Малость параметра  $\eta = (2l)^3 g / (\nu\chi)$  может достигаться за счет уменьшения как масштаба длины, так и ускорения свободного падения  $g$  (например, в условиях невесомости, когда  $g \approx (10^{-2} \div 10^{-3})g_0$ , где  $g_0 = 981 \text{ см}/\text{с}^2$  — ускорение свободного падения вблизи земли). В данных расчетах  $g \approx 10^{-3}g_0$ , т. е.  $2l < 0,11 \text{ см}$ . При указанных значениях  $l, \beta, \chi, \nu$  найдена зависимость параметров  $C_i = \text{Im } C$  и  $C_r = \text{Re } C$  от волнового числа  $k$ .

На рис. 1 представлены зависимости  $C_i(k)$  при  $\varepsilon = 7,5 \cdot 10^{-5}$  ( $|\theta_1 - \theta_2| = 10 \text{ }^\circ\text{C}$ ) и  $\text{R} = 4,21 \cdot 10^{-4}$ . Штриховая кривая соответствует случаю нагрева сверху ( $\theta_1 > \theta_2$ ), сплошная кривая — случаю нагрева снизу ( $\theta_1 < \theta_2$ ). (Далее кривые, соответствующие случаю, когда жидкость нагревается сверху, будем обозначать  $C_i^-$ , снизу —  $C_i^+$ .)



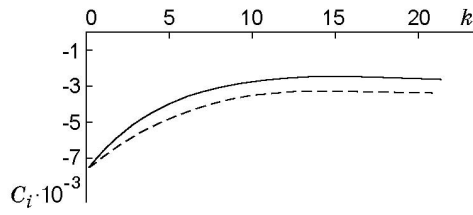


Рис. 1

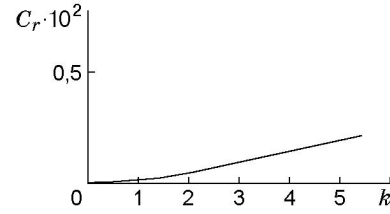


Рис. 2

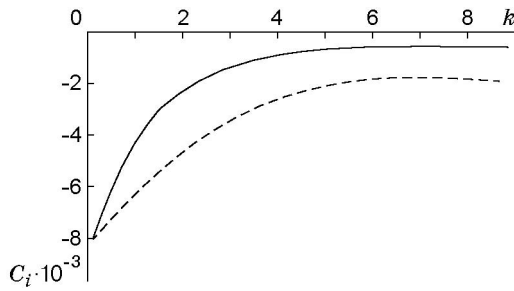


Рис. 3

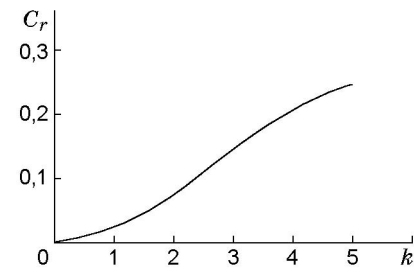


Рис. 4

На рис. 2 приведена зависимость  $C_r(k)$  при тех же значениях параметров  $\varepsilon$  и  $R$ , что на рис. 1. Поскольку значения  $C_r^+(k)$  и  $C_r^-(k)$  различаются не более чем на  $10^{-6}$ , соответствующие кривые на рис. 2 совпадают.

На рис. 3 представлены зависимости  $C_i^+(k)$ ,  $C_i^-(k)$  (сплошная и штриховая кривые соответственно) при  $\varepsilon = 7,5 \cdot 10^{-3}$  ( $|\theta_1 - \theta_2| = 1000$  °C) и  $R = 4,21 \cdot 10^{-2}$ . На рис. 4 приведена зависимость  $C_r(k)$  при тех же значениях  $\varepsilon$ ,  $R$ , что на рис. 3.

Заметим, что с увеличением  $\varepsilon$  (т. е. разности температур на стенках) кривые  $C_i(k)$  быстрее возрастают от значения  $C_{0i}$ . Для всех кривых  $C_i^-(k)$  характерно более медленное возрастание по сравнению с соответствующими кривыми  $C_i^+(k)$ . С ростом  $\varepsilon$  модуль разности  $|C_i^+ - C_i^-|$  увеличивается. Для любых  $k$  все значения  $C_i < 0$ , т. е. равновесное состояние устойчиво.

Для всех кривых  $C_r(k)$  характерен незначительный рост с увеличением  $k$  ( $10^{-7} \leq k \leq 1$ ). При всех рассмотренных значениях  $\varepsilon$  выполняются следующие условия: 1)  $C_r > 0$  для всех  $k$ , более того, значения  $C_r$  близки к нулю ( $C_r \approx 10^{-12}$ ) вплоть до  $k = 0,05$ ; 2)  $C_r$  практически не изменяются при  $k \geq 5$ ,  $|C_r(5) - C_r(20)| \leq 10^{-12}$ ; 3) все значения  $C_r^-$  лежат ниже соответствующих значений  $C_r^+$ ,  $|C_r^+(k) - C_r^-(k)| < 10^{-6}$ .

Устойчивость равновесия (2.4) для расплава кремния не является неожиданной, так как  $Pr = 5,41 \cdot 10^{-3}$  (см. замечание 5). Положив в (3.15)–(3.19)  $\varepsilon = 0$ , получим задачу об устойчивости равновесия (2.5) вязкой теплопроводной жидкости

$$-iCZ = (Z'' - k^2Z + k^2Q) Pr, \quad -iCW = (W'' - k^2W - Q') Pr, \quad -iCT + \mu W = T'' - k^2T, \\ Z + W' = 0, \quad -1/2 < \xi < 1/2, \quad Z = W = T = 0, \quad \xi = \pm 1/2.$$

Данная спектральная задача легко решается: сначала определяются  $Z$  и  $W$ , затем возмущение температуры. Явные выражения здесь не приводятся, однако заметим, что имеет место интегральное тождество

$$\left(k^2 - \frac{iC}{Pr}\right) \int_{-1/2}^{1/2} (k^2|W|^2 + |Z|^2) d\xi + \int_{-1/2}^{1/2} (k^2|W'|^2 + |Z'|^2) d\xi = 0.$$

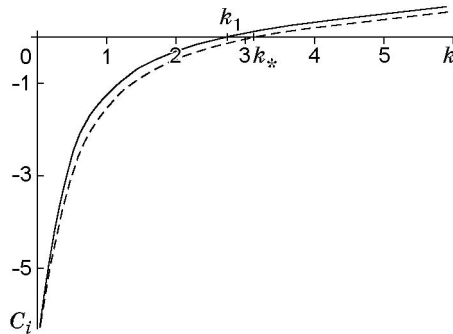


Рис. 5

Отсюда следует, что  $-iC < 0$  — вещественное число. Иными словами, предельное при  $\beta \rightarrow 0$  для (2.4) равновесное состояние (2.5) всегда устойчиво. Можно показать, что комплексный декремент есть решение одного из уравнений

$$x \operatorname{tg} x = -k \operatorname{th}(k/2), \quad (1/x) \operatorname{tg} x = (1/k) \operatorname{th}(k/2),$$

где  $x = (iC/\operatorname{Pr} - k^2)^{1/2}/2$ . Последние уравнения имеют счетное число вещественных решений.

Как известно, линеаризованная задача о конвективной неустойчивости неподвижной жидкости в модели Обербека — Буссинеска является самосопряженной (при нагреве снизу) [4], поэтому вещественная часть собственного значения  $C_r$  равна нулю. Возмущения затухают или усиливаются монотонно, а возникающее движение стационарно. Равновесное состояние (2.6) горизонтального слоя жидкости толщиной  $2l$  с направленным вниз градиентом температуры ( $(\theta_2 - \theta_1)/(2l) > 0$ ) становится неустойчивым, если  $R = g\beta(\theta_2 - \theta_1)(2l)^3/(\nu\chi) > R_* = 1708$ , причем соответствующее безразмерное значение волнового числа  $k_* = 3,12$ .

Представляет интерес (см. замечания 3, 5) сравнить данный классический результат с результатами численного решения спектральной задачи (3.15)–(3.19), когда число Рэлея  $R = \varepsilon\eta$  конечно при  $\varepsilon \ll 1$ . Расчеты проводились для расплава кремния при тех же значениях физических параметров и  $\theta_2 - \theta_1 = 1000$  °С. С увеличением  $\eta$  кривая  $C_i(k)$  приближается к оси  $C_i = 0$  и впервые пересекает эту ось при  $k = k_1 = 2,84 < k_*$ , когда  $\eta_1 = 225\,193,33$ . В этом случае  $R_1 = \varepsilon\eta_1 = 1688,95 < R_*$ , а толщина слоя  $2l_1 = 6,68$  см при  $g = 10^{-3}g_0$ . На рис. 5 сплошной линией показана зависимость  $C_i(k)$  для модели микроконвекции, штриховой — для модели Обербека — Буссинеска. Таким образом, в модели микроконвекции неустойчивость равновесия возникает при меньших волновых числах. По-видимому, это связано с большей подвижностью (сжимаемостью) жидкости в данном случае. Значения  $C_r$  при  $R > 10^3$  для всех  $k$  близки к  $10^{-12}$ , спектральная задача (3.15)–(3.19) становится “более самосопряженной”. С уменьшением параметра Буссинеска  $\varepsilon$  критические значения числа Рэлея и волнового числа увеличиваются. Так, при  $\varepsilon = 0,75 \cdot 10^{-4}$  и  $\theta_2 - \theta_1 = 10$  °С  $k_1 = 2,99$ ,  $R_1 = 1694,54$ , что согласуется с замечанием 5.

## ЛИТЕРАТУРА

1. Пухначев В. В. Модель конвективного движения при пониженной гравитации // Моделирование в механике. 1992. Т. 6, № 4. С. 47–56.
2. Andreev V. K., Bekezhanova V. B. Development of thermal convection under low gravity // Joint X Europ. and VI Russ. symp. on phys. sci. in microgravity: Abstr., S-Peterburg, June 15–21, 1997. M.: Inst. Probl. Mech., 1997. P. 10, 11.

3. **Pukhnachov V. V.** Solvability of initial boundary value problem in non-standard model of convection // Зап. науч. семинаров С.-Петерб. отд-ния Мат. ин-та / Мат. ин-т им. В. А. Стеклова. 1996. Т. 233. С. 217–226.
4. **Гершуни Г. З., Жуховицкий Е. М.** Конвективная устойчивость несжимаемой жидкости. М.: Наука, 1972.
5. **Ландау Л. Д., Лифшиц Е. М.** Теоретическая физика Т. 6. Гидродинамика. М.: Наука, 1986.
6. **Монин А. С., Яглом А. М.** Статистическая гидродинамика. М.: Наука, 1965. Ч. 1.
7. **Янке Е., Эмде Ф., Леш Ф.** Специальные функции. М.: Наука, 1977.
8. **Годунов С. К.** О численном решении краевых задач для систем линейных обыкновенных дифференциальных уравнений // Успехи мат. наук. 1961. Т. 16, вып. 3. С. 171–174.
9. **Пухначев В. В.** Микроконвекция в вертикальном слое // Изв. РАН. Механика жидкости и газа. 1994. № 5. С. 76–84.

*Поступила в редакцию 10/XII 2001 г.*

---